



## کاربرد داده‌های ژئوشیمی دایک‌های دیابازی افیولیت کرمانشاه (منطقه صحنه – هرسین) در تعیین جایگاه زمین‌ساختی آن‌ها

ashraf.torkian<sup>1\*</sup>, zinab.daraii.zadeh<sup>1</sup>, ferehad.aliany<sup>1</sup>, mousavi.naqrehyan<sup>2</sup>

۱- گروه زمین‌شناسی، دانشکده علوم، دانشگاه بوعلی سینا، همدان

۲- گروه زمین‌شناسی، دانشکده علوم، دانشگاه اصفهان، اصفهان

(دریافت مقاله: ۹۰/۱۰/۱۸، نسخه نهایی: ۹۱/۳/۱۶)

چکیده: مجموعه افیولیت کرمانشاه در پهنه ساختاری - زمین‌ساختی غرب ایران در بخش شمالی رانش اصلی زاگرس قرار دارد و جزئی از کمربند افیولیتی به شدت گسیخته کرمانشاه - پنجوین است. بهترین بروزند دایک‌های صفحه‌ای و دایک‌های منفرد با ترکیب بازی در جنوب صحنه دیده می‌شوند. بررسی‌های ژئوشیمیایی نشان می‌دهد ماقمایی مادر گدازه‌ی اولیه‌ای است با علائمی از غنی شدگی عناصر LIL. همچنین این ماقمایی به سری‌های ماقمایی نیمه قلیایی تولیتی غنی از منیزیم و فقیر از پتاسیم تعلق دارد. برای این دایک‌ها، الگوهای عناصر کمیاب ناسازگار سرشت جزیره کمانی را ثابت می‌کند. الگوهای پراکنده‌ی چند عنصری بهنجارشده با بازالت-های عادی پشت‌های میان اقیانوسی برای عناصر HFSE بر الگوهای تقریباً یکنواختی دلالت دارد. نمودارهای زمین‌ساختی برای آنها مشخصات انتقالی، بین بازالت‌های میان اقیانوسی و تولیت‌های جزایر کمانی را نشان می‌دهد. بنابراین دایک‌های مجموعه افیولیتی کرمانشاه ممکن است در یک خاستگاه زمین‌ساختی حوضه پشت کمانی به وجود آمده باشند.

واژه‌های کلیدی: افیولیت؛ دایک؛ حوضه پشت کمان؛ تولیت؛ کرمانشاه؛ صحنه.

### مقدمه

را از دیدگاه‌های مختلف مورد بررسی قرار داده‌اند (برای مثال به

۷-۱] مراجعه کنید)، ولی نخستین بار [۴] این افیولیت‌ها را

به چهار گروه زیر تقسیم‌بندی کرده است؛

۱. افیولیت‌های زاگرس

۲. افیولیت‌ها (آمیزه‌های رنگین) شمال غربی ایران

۳. افیولیت‌های شمال رشته کوه البرز

۴. افیولیت‌ها و آمیزه‌های رنگین در مرزهای خرد قاره‌های

ایران مرکزی و شرق ایران

و از نظر سنی نیز آن‌ها را در سه رده سنی پرکامبرین،

پالئوزویک و مزوژویک رده‌بندی شده‌اند [۸] که بین آن‌ها

افیولیت‌های وابسته به کرتاسه از بیشترین سهم و گسترش، به

ویژه در کنار گسل‌ها و راندگی‌های مهم، برخوردارند.

پهنه‌ی زمیندرز زاگرس که از مرز ایران - ترکیه تا شمال

تنگه‌ی هرمز ادامه دارد، بخش مهمی از کمربند کوه‌زایی آلپ -

هیمالیاست که تعدادی از افیولیت‌های مهم ایران، از جمله

افیولیت مورد بررسی در این پژوهش را دربردارد. افیولیت

کرمانشاه در پهنه‌ی ساختاری - زمین‌ساختی غرب ایران در

بخش شمالی رانش اصلی زاگرس قرار دارد و جزئی از کمربند

افیولیتی بشدت گسیخته کرمانشاه - پنجوین و به اعتقاد [۱] از

جمله افیولیت‌های کمربند خارجی زاگرس است. پیدایش

افیولیت‌ها و آمیزه‌های رنگین مovid برخورد قاره‌ای بین صفحه‌ی

آفرو - عربی و ایران مرکزی در راستای زمیندرز یاد شده است.

زمین‌شناسان ایرانی و خارجی متعددی، افیولیت‌های ایران

\* نویسنده مسئول، تلفن-نمبر: ۸۳۸۱۴۶۰ (۰۸۱۱)، پست الکترونیکی: a-torkian@basu.ac.ir

پوشیده شده‌اند، لذا این مجموعه سالم و فاقد آمیختگی‌های ناشی از فعالیت‌های زمین‌ساختی است.

- جنوب‌شرقی مجموعهٔ فوق، یعنی در ناحیهٔ ارگانا (ارگنه)، سنگ‌های فرابازی با فلس‌های آهکی و رادیولاریتی همراهند که در نتیجهٔ عملکرد فشارهای زمین‌ساختی با یکدیگر آمیخته شده و به شدت زمین‌ساختی شده هستند.
- در هرسین یک توده‌ی سرپانتینیت رخمنون دارد که در آن ورقه‌هایی از آهک‌های دوبار تبلور یافته‌ی زیستی آواری (احتمالاً وابسته به تریاس) وجود دارد.

مجموعه‌ی افیولیتی صحنه - هرسین از نظر لیتوژوژی از پایین به بالا شامل: الترامافیک‌ها با بافت تکتونیت (شامل هارزبورژیت، دونیت و لرزولیت)، سنگ‌های الترامافیک با بافت کومولا، سنگ‌های مافیکی (شامل گابروهای پگماتوییدی، تروکولیت‌ها، گابروهای میلونیتی، گابروهای همسانگرد، گابروهای معمولی و گابروهای آمفیبولدار) و پلاژیوکلرایت‌ها است که در زیر دایک‌های صفحه‌ای و بالای گابروها قرار دارند و در بعضی جاها با همین دایک‌ها قطع شده‌اند. این دایک‌ها همان دایک‌های تغذیه‌کننده بازالت‌های بالشی هستند. در این مجموعه افیولیتی بالاترین بخش به آهک‌های پلاژی و رادیولاریت‌های کرتاسه فوقانی اختصاص دارد.

چنانکه شفاهی‌مقدم و روپرت در [۱] اشاره کرده‌اند در افیولیت‌های کمربند خارجی زاگرس (و از جمله منطقه‌ی مورد بررسی) دایک‌های تغذیه‌کننده بیشتر به صورت تیغه‌ای و کم حجم ظاهر شده‌اند حال آنکه در کمربند داخلی وجود دایک‌های یاد شده پدیده‌ای متداول و فراوان است.

قاضی و حسنی پاک در [۱۵] سن جایگزینی سنگ‌های مجموعه‌ی افیولیتی کرمانشاه (دربردارندهٔ منطقهٔ مورد بررسی) را ۸۶/۳ میلیون سال تعیین کرده‌اند. [۱۶] نیز جایگزینی افیولیت جنوب صحنه را پیش از ماستریشتن و ائوسن دانسته و [۱۷] این مجموعه افیولیتی را به کرتاسه پایانی (تورنین تا کامپانین) وابسته می‌دانند. از نظر زمین‌ساختی بین فرآیند بسته شدن نئوتیس و جایگزینی افیولیت‌ها در راستای زون جوش خورده یا زمیندرز زاگرس، شواهد انکار ناپذیری وجود دارد. [۱۵]

افیولیت‌های زاگرس - که افیولیت مورد بررسی نیز بخشی از آن است - در راستای و در بلافصل جنوب غربی راندگی اصلی زاگرس، در دو بخش جدا از هم، یکی در کمان پشت‌کوه در کرمانشاه [۹]، و دیگری کمان فارس در نیریز [۱۰] رخمنون دارند. از نظر ترکیب و ساخت دو مجموعه افیولیتی کرمانشاه و نیریز، با مجموعه افیولیتی - رادیولاریتی عمان، معروف به افیولیت سمایل، و افیولیت‌های حاشیه عربستان، شباهت زیاد دارند [۸].

پیش از این مجموعه افیولیتی کرمانشاه از نظر ویژگی‌های سنگ‌نگاشتی، سنگ‌شناسی و ویژگی‌های ساختاری مورد بررسی زمین‌شناسان قرار گرفته است [۱۲، ۱۱] ولی بررسی دایک‌ها، که یکی از بخش‌های سازنده و مؤلفه‌های مهم بسیاری از مجموعه‌های افیولیتی [۱۳-۱۴] است، در این منطقه از نظر دور مانده است.

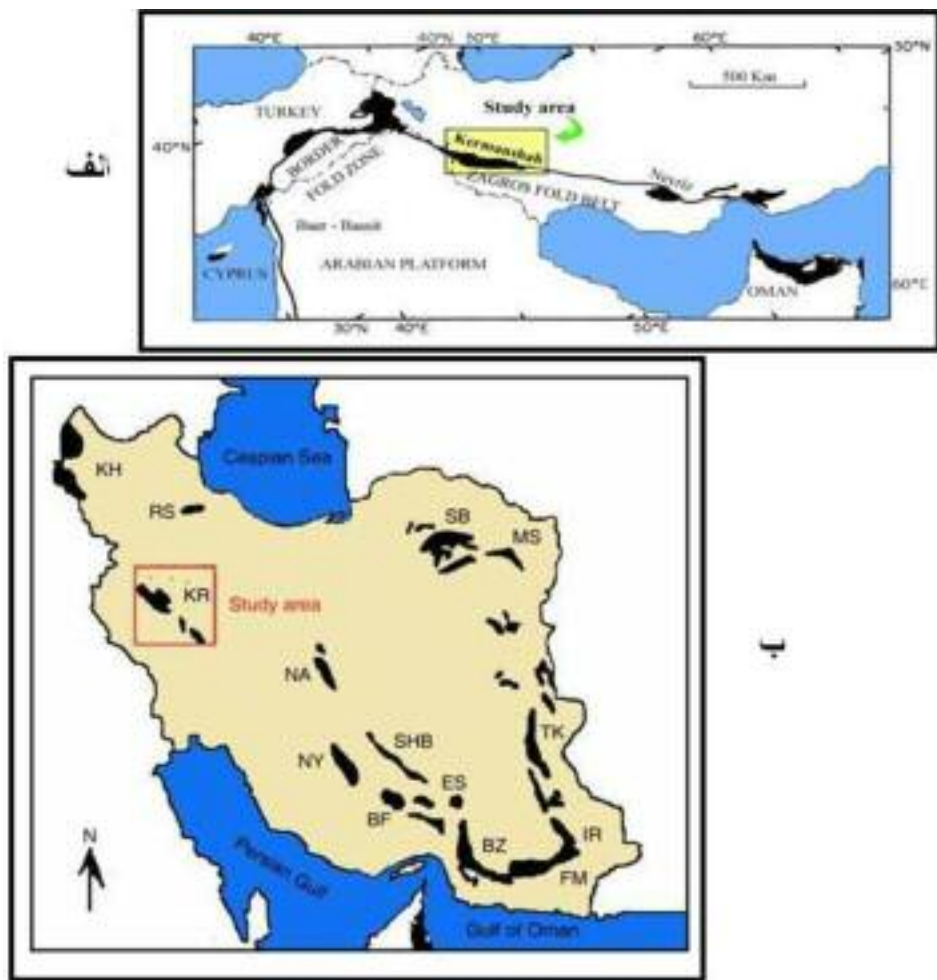
این مقاله سعی بر آن دارد که دایک‌های دیابازی (صفحه‌ای) مجموعه افیولیتی کرمانشاه، در حد فاصل شهرستان‌های هرسین تا صحنه، را بر پایه بررسی‌های زمین‌شناسی صحرایی و سنگ‌شناسی مورد بررسی قرار داده و با توجه ویژه بر داده‌های زئوژیمیابی سنگ کل (عناصر اصلی، فرعی و نادر خاکی)، سرشت و طبیعت، خاستگاه زمین‌ساختی (تکتونیکی) این دایک‌ها را تعیین کند.

#### زمین‌شناسی منطقه

##### - افیولیت کرمانشاه

افیولیت کرمانشاه یک همبافت افیولیتی شدیداً منفصل و گسیخته است که به عنوان بخشی از دنباله‌های افیولیتی موجود در کمربند خارجی زاگرس محسوب می‌شود (شکل ۱). این مجموعه افیولیتی با مختصات جغرافیایی  $30^{\circ} 34^{\circ}$  عرض شمالی و  $45^{\circ} 47^{\circ} 30^{\circ}$  طول شرقی، به سبب گسترش آن در ناحیه‌ی صحنه و هرسین به «افیولیت صحنه - هرسین» معروف [۹] و شامل سه بروزنزد جدگانه است:

- شمال شرقی کرمانشاه (ناحیه‌ی صحنه) متشکل از سنگ‌های فرابازی با بافت کومولیت، پریدوتیت، هارزبورژیت و پیروکسنیت است که ابتدا با سنگ‌های گابرویی و گدازه‌ها



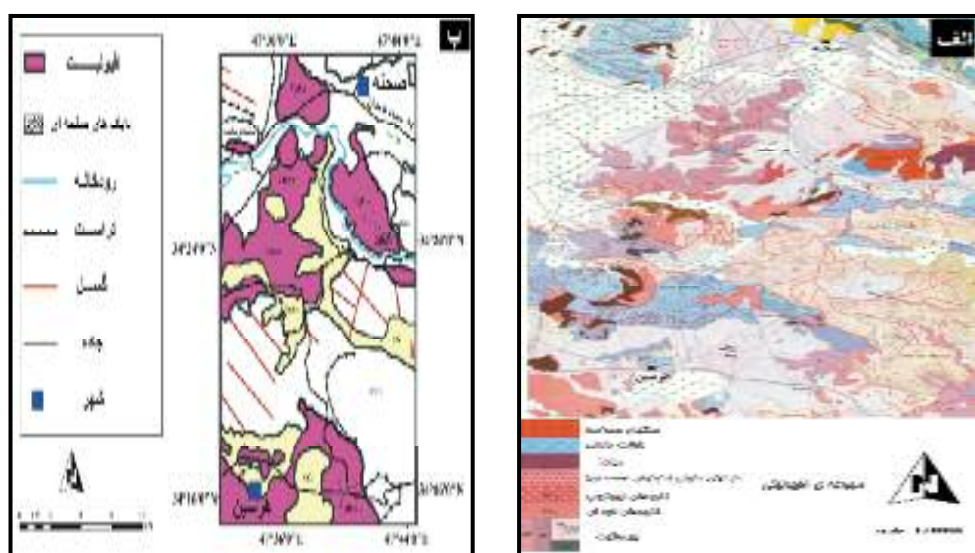
شکل ۱ (الف) توزیع افیولیت‌های کرتاسه نووتیس پیرامون برآمدگی و دماغه‌ی عربی (با تغییراتی اقتباس از [۱۵]). (ب) نقشه‌ی ساده‌ای که موقعیت افیولیت‌های مهم ایران را نشان می‌دهد (با تغییراتی اقتباس از [۱۴]). KH: خوی؛ KR: کرمانشاه؛ NY: نیریز؛ BZ: بند زیارت؛ NA: نائین؛ BF: بافت؛ ES: اسفندقه؛ IR: فنوج؛ FM: چهل‌کوره؛ TK: ایرانشهر؛ MS: مشهد؛ SB: سبزوار؛ RS: رشت (افیولیت طالش)

کاملاً روشنی از آنها در گدازه‌ها دیده نمی‌شود. عملکرد نیروهای زمین‌ساختی (گسله‌ها) در منطقه، این واحدها را از هم جدا کرده و فقط می‌توان با بازسازی فرضی ترتیب افیولیتی، روابط بین آن‌ها را ترسیم کرد. دایک‌های دیابازی در بعضی نقاط به صورت دایک‌های منفرد و نیز متقاطع، پلاژیوگرانیت‌ها را قطع کرده‌اند (شکل ۳). بسیاری از دایک‌ها به سبب متأثر شدن از نیروی زمین‌ساختی، در محل شکستگی‌های واحد پلاژیوگرانیت جایگزین شده‌اند.

ضریب رنگینی دایک‌های صفحه‌ای ملانوکرات و از نظر رنگ کاملاً از سنگ‌های لوکوکرات اسیدی میزبان (پلاژیو گرانیت‌ها)، قابل تشخیص‌اند.

#### روابط صحرایی دایک‌ها

دایک‌های مورد بررسی این مقاله دایک‌هایی صفحه‌ای هستند که از نظر ترتیب قرارگیری در همبافت افیولیتی صحنه - هرسین حدفاصل واحدهای گابروهای همسانگرد و گدازه‌های بالشی قرار گرفته‌اند. در منطقه‌ی مورد بررسی، این نفوذی‌ها با ترکیب بازالت (دیابازی) از گابروهای آمفیبول‌دار شروع و پس از قطع پلاژیوگرانیت‌ها تا گدازه‌های بالشی (پیلولاواها) فوقانی گسترش می‌یابند. برونزدهای فراوان و آشکاری از دایک‌های یاد شده در حوالی روستای علی‌آباد گروس و نیز اطراف روستای تمرک (جاده‌ی نورآباد - هرسین) مشاهده شده‌اند (شکل ۲). به سبب فقدان رخنمون آشکاری از بازالت‌های تحتانی در این منطقه و حضور گدازه‌های بالشی فوقانی اسپیلیتی شده، شواهد



شکل ۲ الف) نقشه‌ی ۱:۱۰۰۰۰ هرسین ب) نقشه‌ی زمین‌شناسی منطقه‌ی مورد بررسی که در آن محل پراکندگی دایک‌ها مشخص شده است.  
(با تغییراتی اقتباس از [۱۹]).



شکل ۳ رخنمون‌هایی از دایک‌های دیابازی مقاطع در حوالی روستای علی‌آباد گروس، دید به سمت جنوب شرقی.

### سنگنگاری

دایک‌های صفحه‌ای دیابازی منطقه‌ی مورد بررسی از دانه‌بندی متوسط تا ریزدانه برخوردارند و در نمونه‌ی دستی به رنگ خاکستری تا سبز و به لحاظ ضریب رنگی ملانوکرات‌اند. بررسی‌های مقاطع نازک آن‌ها با میکروسکوپ نشان می‌دهد که آن‌ها دارای بافت‌های افیتیک، دولریتی و گاهی ساب‌افیتیک هستند (شکل ۴). کانی‌های اصلی تشکیل‌دهنده‌ی این واحد سنگی شامل پلازیوکلаз، کلینوپیروکسن و هورنبلد است. کوارتز، اسفن، ماغنتیت، اپیدوت و کلریت نیز کانی‌های فرعی و ثانویه این سنگ‌ها محسوب می‌شوند. الیوین و ارتوپیروکسن در دایک‌های صفحه‌ای یافت نشده‌اند. بلورهای پلازیوکلاز تیغه‌ای و کشیده بوده و دارای ساخت منطقه‌ای هستند و گاهی دگرسانی سوسوریتی پلازیوکلازها را به مجموعه‌ای از کانی‌های ثانویه

### روش کار

روش بررسی شامل جمع‌آوری نمونه‌های متعدد از واحدهای سنگی متنوع مربوط به دنباله‌ی افیولیت مورد بررسی، تهیه مقاطع نازک از سنگ‌ها و بررسی‌های میکروسکوپی برای بررسی لیتولوژی و سنگنگاری آن‌ها، به ویژه نمونه‌های دایک‌های دیابازی است. با توجه به تفکیک بررسی‌های صحرابی و سنگ‌شناختی، ۱۴ نمونه از سنگ‌های این دایک‌ها به کانادا ارسال شدند تا به روش ICP-MS در آزمایشگاه SGS مورد بررسی عنصری قرار گیرند.

داده‌های مربوط به آنالیزهای سنگ کل دایک‌های مورد بررسی در جدول ۱ آورده شده‌اند. بررسی و پردازش داده‌ها با استفاده از نرم‌افزارهای GCDKit، Igpet و Minpet انجام گرفته است.

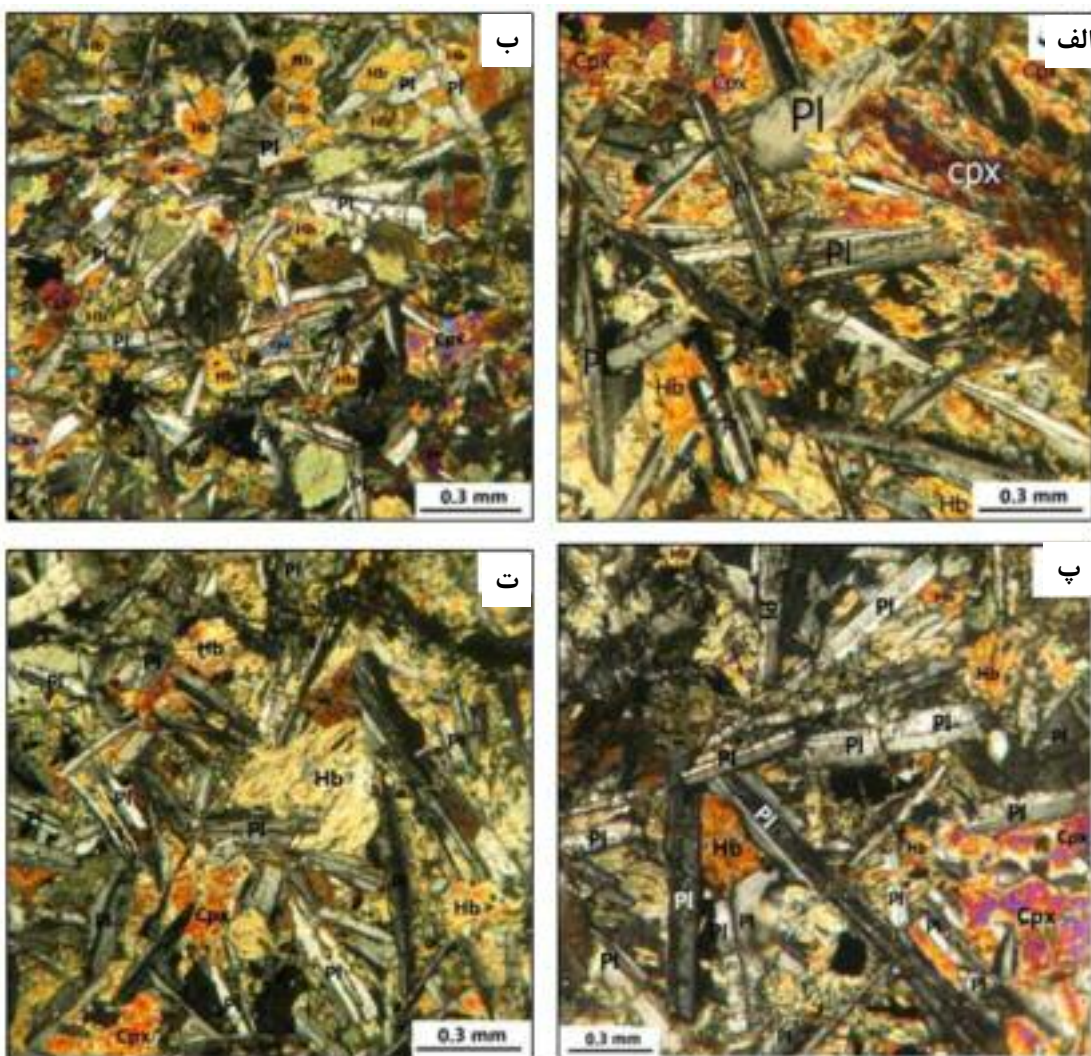
سنگی ساختار منطقه‌بندی (زونینگ) شدید را نشان می‌دهند. این کانی گاهی به سبب تأثیر گرمابی‌ها به آمفیبول تبدیل شده است، ولی سنگ بافت اولیه و اصلی خود را حفظ کرده است (شکل ۴ ت).

آلبیت، اپیدوت، اسفن و کلسیت تجزیه کرده است. در صد مودی این کانی در تمامی مقاطع یکسان نیست، در برخی دایک‌ها که رنگ روشن‌تری دارند پلازیوکلаз بیشتری نیز در آن‌ها یافت می‌شود (شکل ۴ پ).

کلینوپیروکسن‌ها به عنوان مهمترین کانی مافیک این واحد

**جدول ۱** نتایج تجزیه شیمیایی سنگ‌های منتخب دایک‌های افیولیت صحنه - هرسین به روش ICP-MS

Samples	D-S-D <sub>6</sub>	D-S-D <sub>7</sub>	D-S-D <sub>10</sub>	D-S-D <sub>12</sub>	D-S-D <sub>17</sub>	D-S-D <sub>22</sub>	D-S-D <sub>24</sub>	D-S-D <sub>25</sub>	D-S-D <sub>27</sub>	D-S-D <sub>28</sub>	D-S-D <sub>29</sub>	D-S-D <sub>31</sub>	D-S-D <sub>32</sub>	D-S-D <sub>33</sub>
	D-S-D <sub>6</sub>	D-S-D <sub>7</sub>	D-S-D <sub>10</sub>	D-S-D <sub>12</sub>	D-S-D <sub>17</sub>	D-S-D <sub>22</sub>	D-S-D <sub>24</sub>	D-S-D <sub>25</sub>	D-S-D <sub>27</sub>	D-S-D <sub>28</sub>	D-S-D <sub>29</sub>	D-S-D <sub>31</sub>	D-S-D <sub>32</sub>	D-S-D <sub>33</sub>
Major elements, wt %														
SiO <sub>2</sub>	49,1	47,2	48,3	47,9	48,4	47,7	48,4	46,3	49,3	47,2	47,1	44,1	45,3	48,5
Al <sub>2</sub> O <sub>3</sub>	15,1	15,7	15,2	14,5	13,9	14,5	14,1	15,1	14,3	15,9	16,3	16,5	16,6	15,0
Fe <sub>2</sub> O <sub>3</sub>	12,3	11,3	10,2	11,7	11,1	9,85	12,4	8,87	11,2	11,2	10,7	8,94	11,4	10,0
MnO	0,21	0,22	0,17	0,21	0,24	0,21	0,26	0,18	0,21	0,20	0,29	0,17	0,22	0,21
MgO	7,39	7,87	8,44	7,26	7,66	8,58	6,85	7,26	7,56	8,51	8,71	8,57	7,89	8,60
CaO	9,86	11,3	10,7	8,99	11,4	11,5	10,5	12,9	9,77	11,4	12,3	10,06	11,6	12,0
Na <sub>2</sub> O	2,8	2,0	2,5	3,7	2,6	2,2	2,6	2,5	2,2	1,9	1,7	2,46	2,1	2,3
K <sub>2</sub> O	0,35	0,23	0,43	0,25	0,27	0,19	0,21	0,11	0,34	0,31	0,14	0,27	0,23	0,19
P <sub>2</sub> O <sub>5</sub>	0,09	0,07	0,06	0,10	0,07	0,06	0,09	0,08	0,07	0,08	0,08	0,07	0,06	0,06
Cr <sub>2</sub> O <sub>3</sub>	0,13	0,14	0,15	0,13	0,12	0,05	<0,1	0,03	0,02	0,03	0,03	0,04	0,13	0,03
TiO <sub>2</sub>	1,41	1,07	0,96	1,42	1,14	0,93	1,36	0,59	1,16	0,77	0,78	0,82	0,98	0,86
Sum	100,9	98,8	99,3	98,9	98,1	97,3	98,1	96,7	99,5	99,2	99,5	95,6	98,1	99,2
LOI	2,15	1,75	2,27	2,92	1,32	1,50	1,28	4,70	2,36	1,73	1,40	3,68	1,75	1,43
Trace elements, ppm														
Ba	150	100	130	140	140	80	50	60	100	200	150	210	100	80
Nb	<0,1	<0,1	<0,1	<0,1	<0,1	<0,1	<0,1	<0,1	<0,1	<0,1	<0,1	<0,1	<0,1	<0,1
Sr	270	170	120	180	170	110	120	100	130	230	220	200	160	110
Y	30	20	20	30	30	20	30	10	30	20	10	20	20	20
Zr	60	50	50	60	60	50	80	30	70	30	30	50	50	50
Ce	63	50	52	68	57	41	77	62	74	90	74	51	50	45
Cs	<0,1	<0,1	<0,1	<0,1	<0,1	<0,1	<0,1	<0,1	<0,1	<0,1	<0,1	<0,1	<0,1	<0,1
Dy	4,59	3,63	4,04	4,54	4,54	3,75	5,40	1,99	4,57	2,64	2,59	2,99	3,77	3,68
Er	3,08	2,38	2,53	2,99	2,84	2,35	3,62	1,28	3,02	1,78	1,65	1,93	2,26	2,54
Eu	1,09	0,85	0,81	1,15	0,96	0,75	1,26	0,57	0,96	0,66	0,69	0,64	0,83	0,82
Hf	2	1	1	2	2	1	2	<1	2	<1	<1	1	1	1
La	2,3	1,7	2,3	3,0	2,2	1,5	2,9	2,2	4,7	3,9	2,4	1,8	2,2	
Lu	0,39	0,30	0,33	0,36	0,38	0,30	0,62	0,17	0,40	0,21	0,21	0,27	0,31	0,34
Nb	<1	<1	<1	<1	<1	<1	<1	<1	2	<1	<1	<1	<1	<1
Nd	6,8	5,3	5,3	7,1	5,9	4,6	8,2	4,6	7,2	5,7	5,2	5,5	5,3	4,9
Rb	2,9	1,6	2,7	1,8	1,7	1,1	0,9	0,9	2,2	2,5	1,4	2,9	1,7	1,2
Sm	2,5	2,0	2,0	2,6	2,4	1,9	2,9	1,2	2,4	1,6	1,5	2,0	2,0	1,9
Ta	<0,5	<0,5	<0,5	<0,5	<0,5	<0,5	<0,5	<0,5	<0,5	<0,5	<0,5	<0,5	<0,5	<0,5
Tb	0,65	0,55	0,55	0,66	0,64	0,51	0,83	0,30	0,64	0,37	0,37	0,42	0,50	0,53
Th	0,1	0,1	0,1	0,1	0,1	<0,1	0,1	0,7	0,3	0,5	0,5	0,1	0,1	<0,1
Tm	0,43	0,34	0,38	0,40	0,41	0,34	0,51	0,18	0,44	0,24	0,23	0,28	0,34	0,35
U	0,06	0,10	<0,05	0,06	0,05	<0,05	0,07	0,22	0,14	0,19	0,19	0,05	0,10	0,05
V	333	216	247	346	259	222	283	235	266	296	304	186	302	232
Y	26,1	20,4	22,6	26,8	25,6	21,6	31,8	11,9	26,1	15,2	12,9	17,5	21,2	22,2
Yb	27	23	24	28	27	23	35	12	28	16	15	23	21	24
Zr	55,6	43,5	47,7	57,9	56,4	42,6	72,8	22,9	69,4	26,2	26,7	44,3	41,4	45,6



شکل ۴ (الف، ب و پ) تصاویر میکروسکوپی بافت و کانی‌های تشکیل دهنده‌ی دایک‌های دیابازی در منطقه‌ی مورد بررسی (ت) تصویر میکروسکوپی از دایک‌های دیابازی منطقه پیروکسن به هورنبلند تبدیل شده، ولی سنگ بافت دلبریتی و سابافیتیک خود را تا حدودی حفظ کرده است (نور (XPL) (نور

ماهیت و سرنشتی نیمه‌قلیائی (ساب‌آلکالن) است (شکل ۵ ب). با عنایت به سرنشت نیمه قلیائی بودن دایک‌ها برای تشخیص نوع سری نیمه‌قلیائی، درجه‌ی قلیائی بودن و جدایش سری‌های تولئیتی منیزیم‌دار و آهن‌دار نمودارهای [۲۱، ۲۲] مورد استفاده قرار گرفتند. نمودار AFM [۲۱] برای این سنگ-ها بیانگر وابستگی آن‌ها به سری تولئیتی (شکل ۶ الف) و با توجه به توزیع نمونه‌ها در نمودار (شکل ۶ ب) دایک‌های دیابازی در گستره‌ی سری‌های تولئیت‌های پرمنیزیم جای می‌گیرند.

برای تمایز کردن محیط زمین‌ساختی این واحد سنگی از نمودار  $TiO_2-K_2O-P_2O_5$  [۲۳] استفاده شد. چنانکه ملاحظه

وجود کانی‌هایی مانند کلریت، ماغنتیت، آمفیبول، اسفن، اپیدوت، کلسیت، کوارتز ثانویه و آلبیت در این دایک‌ها بیانگر این است که آن‌ها تحت تأثیر دگرگونی بستر اقیانوسی قرار گرفته و شرایط دگرگونی از رخساره‌ی زئولیت تا شیستسبز را تحمل کرده‌اند.

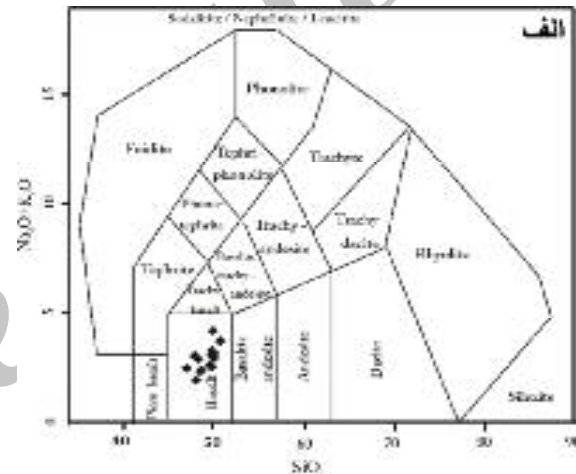
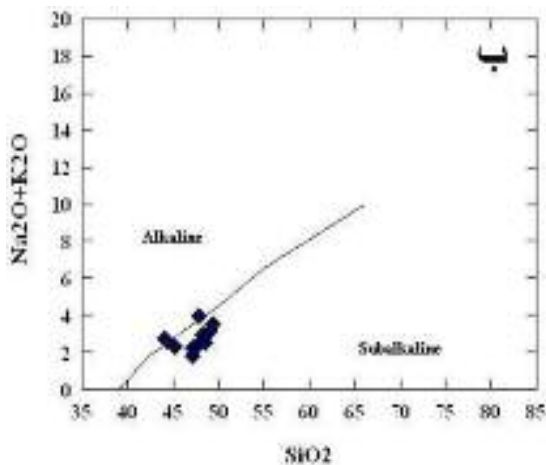
#### بررسی‌های زمین‌شیمیایی عناصر اصلی

برای نامگذاری و تعیین سری ماقمایی از نمودارهای [۲۰، ۲۱] استفاده شد. بر همین اساس ترکیب سنگ‌شناسی دایک‌ها بیشتر بازالتی (شکل ۵ الف) و ماقمای سازنده‌ی آن دارای

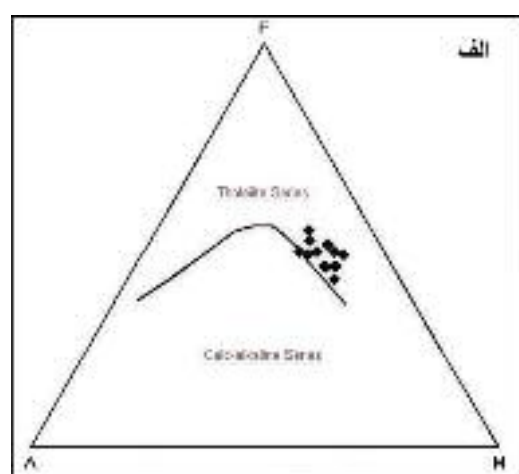
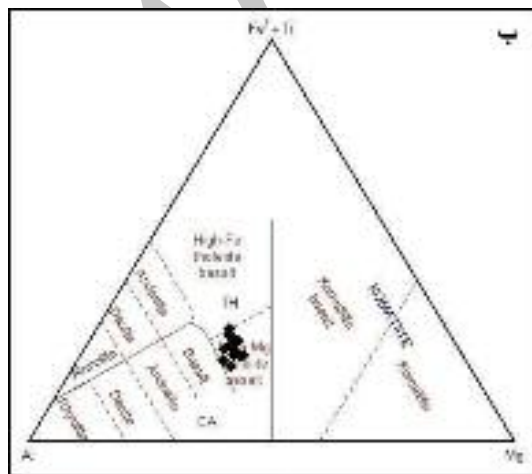
استفاده شود. در همین راستا نمودار  $\log \text{Cr} - \log \text{Ti}$  [۲۴] است (شکل ۸). می‌دانند که دایک‌های مجموعه‌ی افیولیتی صحنه‌ی هرسین در قلمرو تولیت‌های کم‌پتاسیم تصویر شده‌اند (شکل ۸) و این مطلب نتایج نمودارهای ترسیم شده با عناصر اصلی را تائید می‌نماید. همچنین برای تعیین چگونگی دایک‌ها  $\text{TiO}_2$ - $\text{FeO}^*/(\text{FeO}^* + \text{MgO})$  مورد استفاده قرار گرفت که به خاطر درجهٔ غنی‌شدن از  $\text{TiO}_2$  نمودار  $\text{TiO}_2$ - $\text{FeO}^*/(\text{FeO}^* + \text{MgO})$  این نمودار بیانگر فقیر بودن ماقمای مولد دایک‌های یاد شده از تیتانیم است (شکل ۸ ب).

می‌شود نمونه‌های مورد بررسی در قلمرو بازالت‌های اقیانوسی واقع شده‌اند (شکل ۷).

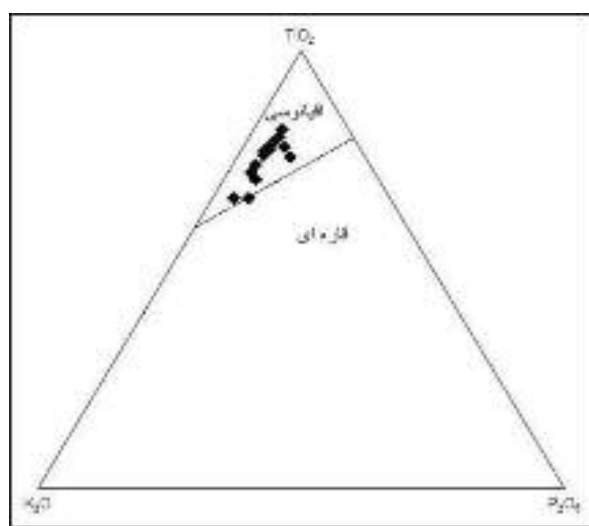
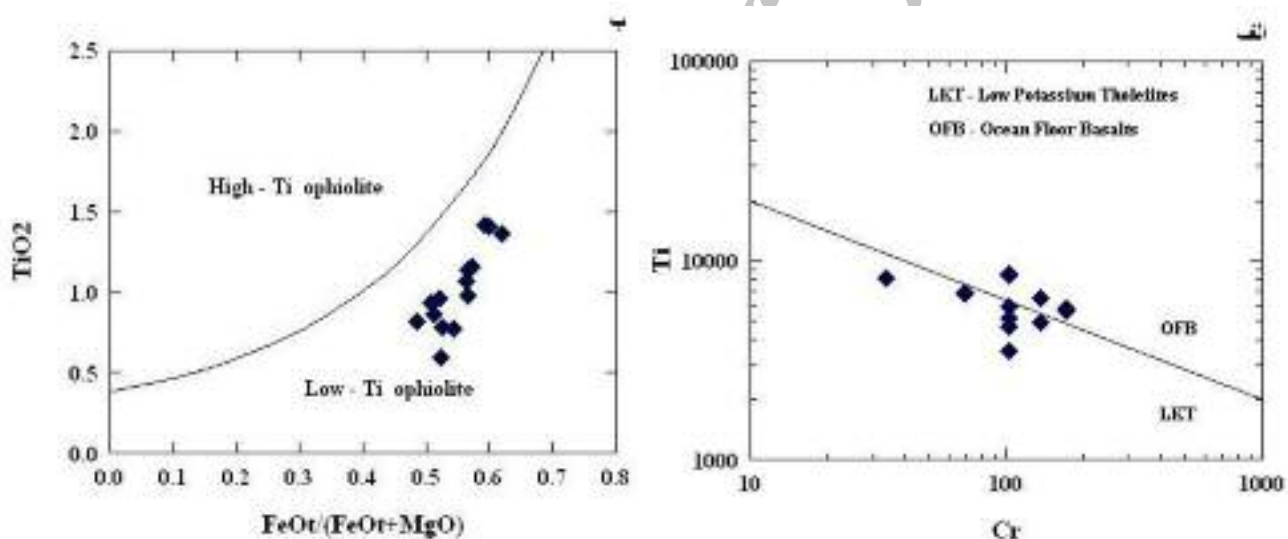
از آنجاکه به سبب شرایط و محل جایگیری افیولیت‌ها، ترتیب سنگ‌های تشکیل‌دهنده‌ی افیولیت، و از جمله دایک‌ها، ممکن است از تغییرات دگرزنی‌های بستر دریا متأثر شده باشند (این موضوع بخوبی در جدول ۱ در جمع کل عنصر اصلی مشهود است. بطوریکه حدود ۲ تا ۳ درصد از جمع کل عناصر به مواد فرار از جمله آب اختصاص پیدا کرده است) شایسته است از نمودارهای متداول طراحی‌شده‌ای که بر پایهٔ فراوانی عناصر مقاومتری که از این تغییرات کمتر متأثر می‌شوند نیز



شکل ۵ (الف) رده‌بندی شیمیایی و نامگذاری سنگ‌های آذرین با استفاده از نمودار کل قلیایی‌ها نسبت به سیلیس (TAS) از [۲۰]. ب) نمودار تعیین سری‌های ماقمایی [۲۱].



شکل ۶ (الف) نمودار  $\text{M} = \text{MgO}$ ,  $\text{F} = \text{Fe}_2\text{O}_3 + \text{FeO}$ ,  $\text{A} = \text{Na}_2\text{O} + \text{K}_2\text{O}$  AFM برای تعیین سری‌های ماقمایی دایک‌های منطقه‌ی مورد بررسی [۲۱] ب) نمودار کاتیونی [۲۲]. نمونه‌های مورد بررسی در قلمرو سری‌های تولیتی (الف) پرمیزیم (ب) تصویر شده‌اند.

شکل ۷ نمودار تمایزی  $\text{TiO}_2\text{-K}_2\text{O-P}_2\text{O}_5$  برای دایک‌ها از [۲۳].شکل ۸ (الف) نمودار  $\text{TiO}_2\text{-FeO}^*/(\text{FeO}^* + \text{MgO})$  از [۲۴] ب) نمودار  $\log \text{Cr}-\log \text{Ti}$  دایک‌ها [۲۵]

غنى، نسبت به عناصر با قدرت میدان بالا (HFSE) فاقد تغييرات محسوس و تمامی نمونه‌ها حدود ۱۰ برابر کندريت‌ها از REE‌ها غنى‌ترند، ولی Rb و Th غنى‌شدگی كمتر و در عناصری مانند Ba، K و Sr غنى‌شدگی بيشتری نشان مى‌دهند.

در نمودار نمونه/N-MORB الگوهای تقریباً يکنواختی برای HFSE، و غنى‌شدگی نمونه‌ها را از عناصر LIL مانند Ba، K، و Nb نشان مى‌دهد. غنى‌شدگی بيشتر عناصر LIL در

#### عناصر فرعی و نادر خاکی

داده‌های وابسته به فراوانی عناصر نادر خاکی تجزیه‌ی شیمیایی سنگ کل دایک‌های دیابازی صحنه - هرسین که به روش ICP-MS آنالیز شده‌اند، در جدول ۱ ارائه شده است. برای بررسی تغييرات عناصر كمیاب از نمودارهای بهنجارشده با ميانگين بازالت‌های عادي اين پشتمه‌ها N-MORB [۲۶] و نيز كندريت [۲۷] استفاده شده است (شکل ۹). چنانکه نمودارها نشان مى‌دهند دایک‌ها از عناصر ليتوفيل بزرگ یون (LILE)

دایک‌های افیولیت صحنه - هرسین ویژگی خوبی برای میزان دگرسانی است. این موضوع در نمودارهای شکل ۹ و نیز در جدول ۱ به خوبی مشهود است.

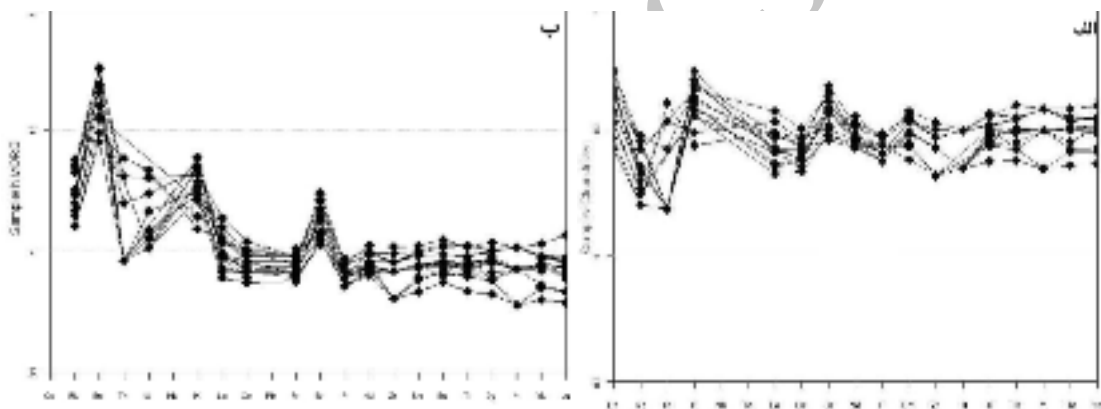
#### بررسی محیط زمین ساختی دایک‌ها

برای تعیین محیط تکتونوماگمایی دایک‌های منطقه‌ی صحنه- هرسین از نمودارهای [۲۹- ۳۳] استفاده شد. چنانکه از تصویر آنالیز نمونه‌های دایک‌ها در نمودار  $\text{MnO}^{*}10 - \text{P}_2\text{O}_5^{*}10 - \text{TiO}_2$  [شکل ۱۰ الف) پیداست، این نمونه‌ها در قلمرو  $\text{FeOt} - \text{MgO} - \text{Al}_2\text{O}_3$  [شکل ۱۰ ب)] نیز دایک‌ها در قلمرو بازالت‌های بستر اقیانوس و جزایر کمانی واقع شده‌اند (شکل ۱۰ ب).

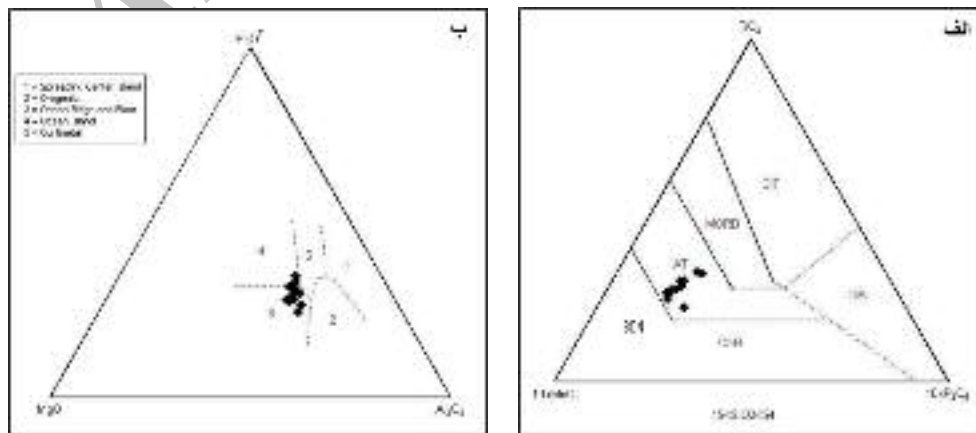
مقایسه با عناصر HFS در این دایک‌ها به خوبی نشان می‌دهد که علاوه بر سازندگان گوشه‌ی فوقانی مواد پوسته‌ای نیز دخالت داشته‌اند. این مواد، به واسطه‌ی سیالات بالا آمده در روز فروزانش می‌توانست به سازندگان در گیر اضافه شده باشد که این فرایند شاخص سنگ‌های وابسته به کمان است.

به علاوه در بیشتر مagmaهای بازالت‌های جزایر کمانی (IAB) غنی‌شدنگی انتخابی از  $\text{Ba}$ ,  $\text{Rb}$  و یا  $\text{K}$  نسبت به عناصر خاکی سبک دیده می‌شود [۲۸].

شرایط دگرسانی با دمای پایین در بازالت‌های میان اقیانوسی باعث تغییراتی در عناصر مختلف، به خصوص عناصر متحرک می‌شود. غنی‌شدنگی در میزان  $\text{Ba}$  در نمونه‌های



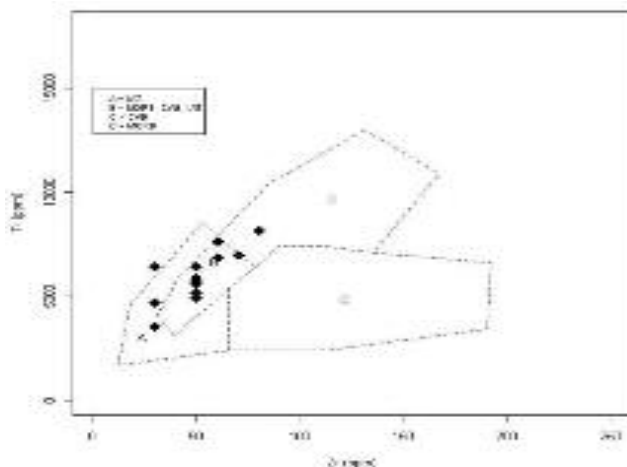
شکل ۹ الف) الگوی پراکندگی چند عنصری دایک‌های افیولیت صحنه - هرسین در نمودار (کندریت/نمونه) (مقادیر بهنجار کننده از [۲۶]). ب) الگوی عناصر کمیاب و جزئی دایک‌های افیولیت صحنه- هرسین در نمودار (NMORB/نمونه)، (مقادیر بهنجار کننده از [۲۷]).



شکل ۱۰ نمودار تعیین محیط‌های زمین ساختی مجموعه‌ی افیولیتی صحنه - هرسین [۲۹] (حروف اختصاری استفاده شده در شکل عبارتند از: OIT: تولیت جزایر اقیانوسی; MORB: بازالت پشتۀ میان اقیانوسی; IAT: تولیت جزایر اقیانوسی; CAB: بازالت قوس‌های قاره‌ای; BON: بونینیت). ب) نمودار  $\text{FeOt} - \text{MgO} - \text{Al}_2\text{O}_3$  [۳۰]

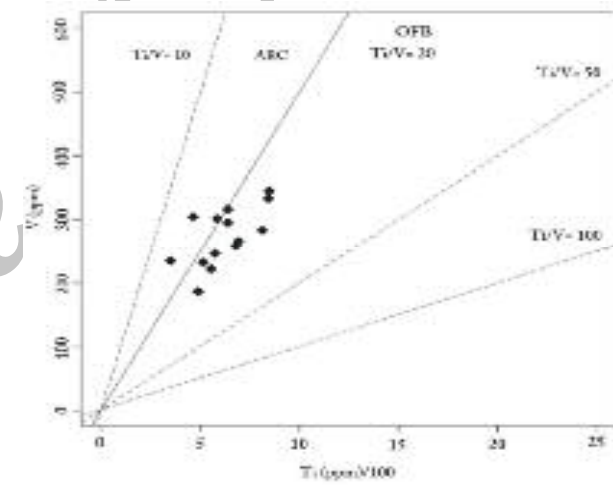
تولئیت‌های جزایر کمانی (IAT) وابسته‌اند. به طور کلی یک خاستگاه صرفاً پشتهدای میان اقیانوسی مشخص برای دایک‌های منطقه‌ی مورد بررسی منتفی است. بعلاوه خاستگاه حوضه‌ی پیش کمانی (fore-arc) برای دایک‌ها بهدلیل عدم حضور سنگ‌های مشخص پیش کمانی نظیر بونینیت‌ها، که امروزه در پیش کمان‌های فعال معمول و متداولند [۳۳]، وجود بافت‌های کومولیتی در هارزبورژیت‌های افیولیت مورد بررسی، نیز نمی‌تواند مورد قبول باشد.

نمودار Zr/Y نسبت به Zr [۳۴] نیز تأیید می‌کند که ترکیب دایک‌های دیبازی افیولیت‌های صحنه- هرسین بین بازالت‌های پشتهدای میان اقیانوسی (MORB) و تولئیت‌های جزایر کمانی (IAT) قرار دارند (شکل ۱۴).

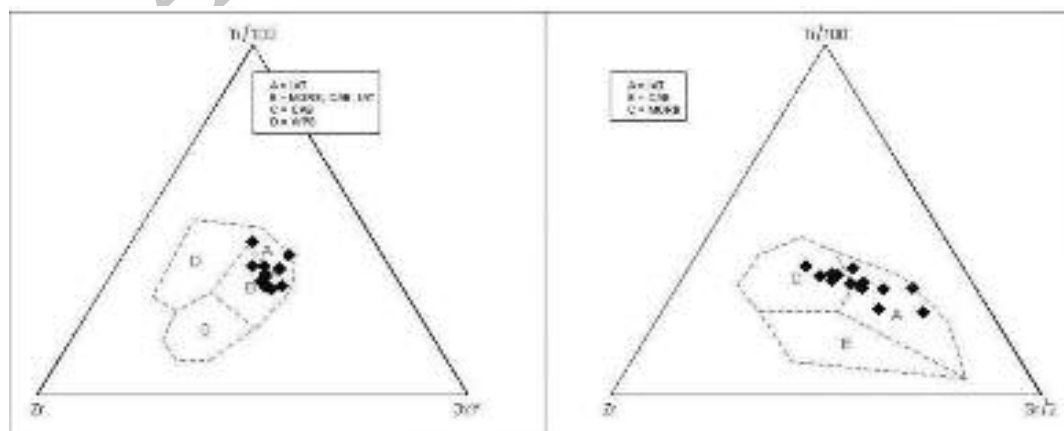


شکل ۱۲ نمودار تعیین محیط زمین‌ساختی [۳۲].

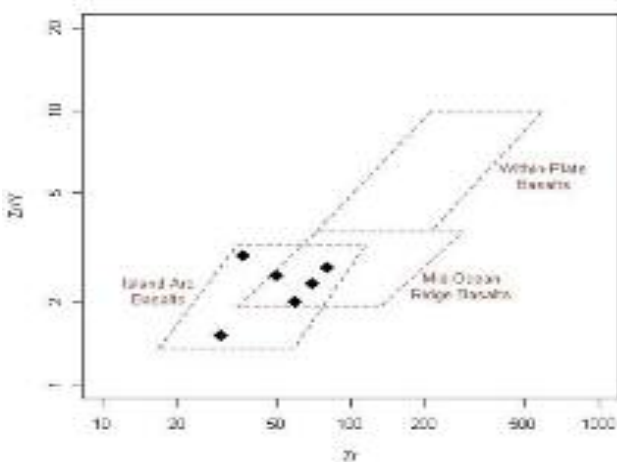
به نظر [۳۱]، از فراونی عناصر Ti و V به عنوان عامل جداکننده‌ی مؤثر بین بازالت‌های رژیم‌های زمین‌ساختی مختلف می‌توان استفاده کرد. بر این مبنای دایک‌های این منطقه در گستره‌ی بازالت‌های بستر اقیانوس (OFB) و جزایر کمانی توزیع شده‌اند (شکل ۱۱). در نمودار  $\text{Ti}/100\text{-Zr-Y}^*3$  [۳۲] سنگ‌هایی که در میدان B تصویر می‌شوند، نتیجه‌ی مبهمی دارند، به طوریکه همه‌ی بازالت‌های مورب، کمان قاره‌ای و جزایر کمانی در این قلمرو قرار می‌گیرند، لذا برای جدایش این محیط‌ها، نمودارهای  $\text{Ti-Zr}$  [۳۲] و  $\text{Ti}/100\text{-Zr-Sr}$  [۳۲] بکار رفته است (شکل‌های ۱۲ و ۱۳). نتایج تصویر داده‌ها روی این نمودارها بیانگر آنست که نمونه‌های مورد بررسی دایک‌ها به گستره‌ی بازالت‌های پشتهدای میان اقیانوسی (MORB) و



شکل ۱۱ نمودار تعیین محیط زمین‌ساختی [۳۱].



شکل ۱۳ نمودار تعیین محیط‌های زمین‌ساختی [۳۲]. علائم اختصاری عبارتند از: MORB: بازالت‌های پشتهدای میان اقیانوسی، IAT: تولئیت‌های جزایر کمانی، CAB: بازالت‌های کمان‌های قاره‌ای، WPB: بازالت‌های درون صفحه‌ای.



شکل ۱۴ نمودار تعیین محیط‌های زمین‌ساختی [۳۳]. علائم اختصاری مشابه شکل ۱۳ است.

Canadian Journal of Earth Sciences 33 (1996a) 1534- 1542.

[3] Arvin M., Robinson P.T., "The petrogenesis and tectonic setting of lavas from the Baft Ophiolitic Melange, southwest of Kerman, Iran", Canadian Journal of Earth Sciences 31 (1994) 824-834.

[4] Stocklin J., "Possible ancient continental margin in Iran. In: Burke, C.A., Drake, C.L. (Eds.) *The Geology of Continental Margins*", Springer, New York (1974) 873-887.

[5] Takin M., "Iranian geology and continental drift in the Middle East", Nature 235 (1972) 147-150.

[6] Alavi M., "Tectonic Map of the Middle East", Geological Survey of Iran (1991).

[7] Lippard S. J., Shelton A. W., Gass I. G., "The ophiolite of Northern Oman", Geological Society of London Memoir 11 (1986) 178 pp.

[۸] آقانباتی س.ع., "زمین‌شناسی ایران", انتشارات سازمان زمین‌شناسی و اکتشافات معدنی کشور، صفحه ۵۸۶ (۱۳۸۳).

[9] Braud J., "Les formation au Zagros dans la region de Kermanshah (Iran) et leurs rapports structuraux", Compt. Rend 271 (1970) 244-1291.

[10] Ricou L. E., "Le croissant ophiolitique periarabe, un ceinture de nappes mises en place au Crétacé supérieur. Rev", Geog. Phys. Geol. Dyn. 13 (1971b) 327-350.

[11] Penrose Conference (participants), *Penrose Field Conference on Ophiolites*, Geotimes 1 (1972) 24-25.

[12] Coleman R.G., "Ophiolites: Ancient Oceanic Lithosphere", Springer-Verlag, New York (1977) 229.

#### برداشت

بررسی‌های داده‌های ژئوشیمیایی گویای آنست که مagma‌های سازنده‌ی دایک‌های افیولیت صحنه - هرسین با ترکیب دیابازی و از عناصر لیتوفیل بزرگ یون (LILE) غنی هستند که بر تاثیر توام سازندگان گوشه‌های فوکانی و مواد پوسته‌ای دلالت دارد. محیط‌های زمین‌ساختی آن‌ها ویژگی‌های انتقالی بین MORB و IAT را نشان می‌دهند و یک خاستگاه پشت‌های میان اقیانوسی شاخص و نیز خاستگاه، حوضه‌ی پیش کمانی برای این دایک‌ها منتفی است.

بنابراین با استناد به روابط صحرائی دایک‌ها و افیولیت در برگیرنده آن، مشاهدات سنگنگاری توام با موقعیت پهنه‌ی ساختاری - زمین‌ساختی تراست زاگرس و داده‌های ژئوشیمیایی دایک‌های مورد بررسی با ماهیت تولئیتی پرمیزیم supra-subduction در یک خاستگاه حوضه‌ی پشت کمان یا (SSZ) zone تشکیل شده‌اند. خاستگاه و موقعیت زمین‌ساختی حوضه‌ی پشت کمان دایک‌های دیابازی افیولیت صحنه - هرسین مورد بررسی با استفاده از شواهد ژئوشیمیایی متعددی از جمله شیمی انتقالی (تحولی) از MORB تا HFSE در تولئیتی جزایر کمانی، روابط V - Ti مقایسه با تولئیت جزایر کمانی تأیید می‌شود.

#### مراجع

[1] Shafahii Moghadam H., Robert J. S., "Late Cretaceous fore arc ophiolites of Iran", Island Arc 20 (2011) 1-4.

[2] Hassanipak A. A., Ghazi A. M., Wampler J. M., "REE characteristics and K/Ar ages of the Band Ziarat ophiolite complex, southeastern Iran",

- basalts*", Earth Planet Sciences Letters 24 (1975) 419-426.
- [24] Pearce J. A., "Basalt geochemistry used to investigate past tectonic environment on Cyprus", Tecnophysics 25 (1975) 41-67.
- [25] Serri M., "Petrochemistry of ophiolite gabbroic complex: A key for classification of ophiolites into low-Ti and high Ti types", Earth and Planetary Sci. Lett 52 (1981) 203-212.
- [26] Sun S. S., Mc Donough W. F., "Chemical and isotopic systematic of oceanic basalts: implications for mantle composition and processes. In: Sunders A. D., Norry M (eds) Magmatism in oceanic Basins", Geological Society of London Special publication 42 (1989) 313-345.
- [27] Thompson R. N., "Magmatism of the British Tertiary Volcanic Province", Scott. Journal of geology 18 (1982) 49-107.
- [28] Wilson M., "Igneous petrogenesis", unwin Hyman London (1996) p 450.
- [29] Mullen E. D., "MnO/TiO<sub>2</sub>/P<sub>2</sub>O<sub>5</sub> a minor element discriminant for basaltic rocks of oceanic environment and its implication for petrogenesis", Earth and Planetary Science Letters 62 (1983) 53-62.
- [30] Pearce T. H., Gorman B. E., Birkett T. C., "The relationship between major element geochemistry and tectonic environment of basic and intermediate volcanic rocks", Earth Planet Sciences Letters 36 (1977) 121-132.
- [31] Shervais J. W., "Ti-V plots and petrogenesis of modern and ophiolite lavas", Earth and Planetary Science Letters 59 (1982) 101-118.
- [32] Pearce J. A. Cann J. R., "Tectonic setting of basic volcanic rock determined using trace element", analyses Earth Planet Sciences Letters 19 (1973) 290-300.
- [33] Saunders A. D., Tarney J., "Geochemical characteristics of basaltic volcanism within back-arc basins. in: Kokelaar B. P., Howells, (eds). Marginal Basin Geology", Geological Society of London Special publication 16 (1984) 59-76.
- [34] Pearce J. A., Norry M. J., "Petrogenetic implication of Ti, Zr, Y and Nb variation in volcanic rocks", contribution to Mineralogy and petrology 69 (1979) 33-47.
- [۱۳] میرزایی ن، "بررسی زمین ساخت و لرزه زمین ساخت صحنہ (شمال شرقی باختران)", پایان نامه کارشناسی ارشد، دانشگاه تربیت معلم (۱۳۷۰).
- [۱۴] حقیقی ن، "بررسی صحرایی و پتروگرافی سکانس افیولیتی صحنہ، پایان نامه کارشناسی ارشد، دانشگاه اصفهان (۱۳۷۴).
- [15] Ghazi A.M., Hassanipak A., A., "Geochemistry of subalkaline and alkaline extrusives from the Kermanshah ophiolite, Zagros Suture Zone, Western Iran: Implications for Tethyan plate tectonics", Asian Journal of Earth Sciences 17 (1999) 319-332.
- [۱۶] بابایی ف، "بررسی افیولیت های منطقه صحنہ (استان کرمانشاه) از دیدگاه زمین شناسی اقتصادی و سنگ شناسی، پایان نامه کارشناسی ارشد، دانشگاه شهری بهشتی (۱۳۸۱).
- [۱۷] مرادپور ن، "مطالعه پتروگرافی، ژئوشیمی و پترولوژی مجموعه افیولیتی جنوب صحنہ (شمال شرق کرمانشاه)", پایان نامه کارشناسی ارشد، دانشگاه تربیت معلم (۱۳۸۴).
- [۱۸] فتحیان ل، "کانی شناسی کانی های ثانویه ناشی از افیولیت های صحنہ به عنوان تابعی از فرآیندهای هیدروترمال (دگرسانی - دگرگونی)", پایان نامه کارشناسی ارشد، دانشگاه بولی سینا (۱۳۸۶).
- [۱۹] حسینی دوست ج، "نقشه زمین شناسی ۵۰۰۰۰: ۱، هرسین، (۱۳۸۵).
- [20] Middlemost E. A. K., "Naming materials in the magma/igneous rock system", Earth Sciences Rev. 37 (1994) 215- 224.
- [21] Irvine T.N., Baragar W. R. A., "A guide to the chemical classification of the common volcanic rocks", Canadian Journal of Earth Science 8 (1971) 523-548.
- [22] Jensen L. S., "A new cation plot for classifying subalkalic volcanic rocks", Ontario Division of Mines Mp 66 (1976) 22.
- [23] Pearce T. H., Gorman B. E., Birkett T. C., "The TiO<sub>2</sub> – K<sub>2</sub>O – P<sub>2</sub>O<sub>5</sub> diagram a method of discriminating between oceanic and non-oceanic